

# **Implementierung einer Betriebssoftware unter Berücksichtigung des Echtzeitverhaltens**

Christoph Peltz

15. September 2009



Technische Universität Braunschweig  
Institut für Betriebssysteme und Rechnerverbund

Bachelorarbeit

Implementierung einer Betriebssoftware unter  
Berücksichtigung des Echtzeitverhaltens

von  
cand. inform. Christoph Peltz

**Aufgabenstellung und Betreuung:**  
Dieter Brökelmann und Prof. Dr.-Ing. L. Wolf.

Braunschweig, den 15. September 2009



### **Erklärung**

Ich versichere, die vorliegende Arbeit selbstständig und nur unter Benutzung der angegebenen Hilfsmittel angefertigt zu haben.

Braunschweig, den 15. September 2009



### **Kurzfassung**

Diese Bachelorarbeit umfasst die Entwicklung, Implementation als auch Untersuchung einer Betriebssoftware für eine vorgegebene Plattform mit Blick auf den späteren Verwendungszweck im Praktikum "Programmierung eingebetteter Systeme". Ziel ist es die aktuell verwendete Betriebssoftware durch eine wartbarere, performante und erweiterbare Alternative zu ersetzen. Dazu wird auch ein neues Protokoll entworfen, um die Befehlsverarbeitung bzw. die Zusammensetzung dieser Befehle, auf beiden Kommunikationsseiten einfach und effizient zu gestalten.

### **Abstract**

This example abstract is indeed very abstract.





[Hier wird später die Aufgabenstellung eingefügt.]



# Inhaltsverzeichnis

|          |   |           |
|----------|---|-----------|
| <b>1</b> | <b>Einleitung</b>   | <b>1</b>  |
| <b>2</b> | <b>Überblick über die Hardware</b>                        | <b>3</b>  |
| 2.1      | Mikrocontroller . . . . .                                 | 3         |
| 2.2      | Ein-/Ausgabemöglichkeiten zur Praktikumsplatine . . . . . | 4         |
| 2.3      | Interne Ein-/Ausgabe-Ports . . . . .                      | 4         |
| <b>3</b> | <b>Einsatz im Praktikum</b>                               | <b>5</b>  |
| <b>4</b> | <b>Design und Designentscheidungen</b>                    | <b>7</b>  |
| 4.1      | System . . . . .  | 7         |
| 4.2      | Debug . . . . .   | 7         |
| 4.3      | Drive, Motor und PID . . . . .                            | 8         |
| 4.4      | IO, I2C und UART . . . . .                                | 8         |
| 4.5      | Order und Queue . . . . .                                 | 8         |
| 4.6      | Timer, Parser und Options . . . . .                       | 9         |
| <b>5</b> | <b>Implementierung der Betriebssoftware</b>               | <b>11</b> |
| 5.1      | Die Hauptschleife . . . . .                               | 11        |
| 5.1.1    | process_orders() . . . . .                                | 11        |
| 5.1.2    | lcd_update_screen() . . . . .                             | 11        |
| 5.1.3    | parser_update() . . . . .                                 | 12        |
| 5.1.4    | queue_update() . . . . .                                  | 12        |
| 5.2      | Das Aktive BremsSystem (ABS) . . . . .                    | 13        |
| 5.3      | Befehle: Struktur und Funktionen . . . . .                | 13        |
| 5.4      | Datenpfad von Befehlen . . . . .                          | 14        |
| 5.5      | Debug-Ausgaben . . . . .                                  | 14        |
| 5.6      | IO-Framework . . . . .                                    | 15        |
| <b>6</b> | <b>Untersuchung des Laufzeitverhaltens</b>                | <b>17</b> |
| 6.1      | Erste Messungen . . . . .                                 | 17        |
| 6.2      | Das LCD-Problem . . . . .                                 | 18        |
| 6.3      | Optimierung . . . . .                                     | 20        |
| 6.3.1    | Inlining von Funktionen . . . . .                         | 20        |
| 6.3.2    | Eliminierung von Modulo-Operatoren . . . . .              | 20        |
| 6.3.3    | Effizienteres Initialisieren des Speichers . . . . .      | 22        |
| 6.3.4    | Bedingtes Kompilieren von Debugausgaben . . . . .         | 22        |
| 6.4      | Verlieren/Verpassen von Interrupts . . . . .              | 23        |
| 6.5      | Vergleich mit der Original-Software . . . . .             | 23        |

*Inhaltsverzeichnis*

|                                       |           |
|---------------------------------------|-----------|
| <b>7 Zusammenfassung und Ausblick</b> | <b>25</b> |
| <b>Literaturverzeichnis</b>           | <b>27</b> |
| <b>A Module und ihre Beziehung</b>    | <b>29</b> |

# Abbildungsverzeichnis

|     |   |    |
|-----|---|----|
| 2.1 | Die Motorplatine . . . . .  | 3  |
| 4.1 | Die Hauptschleife . . . . .                                       | 8  |
| 5.1 | Die Verteilerfunktion . . . . .                                   | 11 |
| 5.2 | Befehlsstruktur . . . . .   | 13 |
| 5.3 | order_init()-Funktion . . . . .                                   | 14 |
| 5.4 | order_copy()-Funktion . . . . .                                   | 14 |
| 5.5 | Debug-Defines und die Verwendung im Code . . . . .                | 15 |
| 6.1 | Die Hauptschleife mit Debugausgaben und Pin-Operationen . . . . . | 18 |
| 6.2 | Vergleich von mehreren Befehlen . . . . .                         | 24 |
| A.1 | Die Module und ihre Beziehungen . . . . .                         | 29 |

## *Abbildungsverzeichnis*

## Tabellenverzeichnis

|     |  |    |
|-----|--|----|
| 6.1 | Benötigte Takte/Zeit für Pin-Operationen . . . . . | 17 |
| 6.2 | Ergebnisse der ersten Messungen . . . . .          | 19 |
| 6.3 | LCD Ergebniss . . . . .                            | 20 |
| 6.4 | Auswirkung von -finline-functions . . . . .        | 21 |
| 6.5 | Ergebnisse der io_get()-Messungen . . . . .        | 22 |
| 6.6 | Ergebnisse der order_init() Optimierung . . . . .  | 22 |
| 6.7 | Vergleich der Speicheranforderung . . . . .        | 23 |
| 6.8 | Vergleich der Geschwindigkeiten . . . . .          | 24 |

## *Tabellenverzeichnis*



# 1 Einleitung

Im Praktikum "Programmierung eingebetteter Systeme" wird eine Motorplatine [1] eingesetzt, damit die Studenten die Motoren benutzen können, um ihr Fahrzeug fahren zu lassen. Diese Motorplatine benötigt für ihre Operation eine Betriebssoftware, die die Befehle der Praktikumsplatine entgegen nimmt, interpretiert und in Aktionen umsetzen kann. Die Entwicklung dieser Software sowie die qualitative Untersuchung ihres Laufzeitverhaltens ist Gegenstand dieser Arbeit.

Zuerst wird auf die Hardware eingegangen für die die Betriebssoftware geschrieben wird, und die in einer eigenen Arbeit für diesen Einsatzzweck speziell entwickelt wurde. Der Mikrocontroller und die Kommunikationseinrichtungen werden genauer betrachtet, um einen Überblick über die Möglichkeiten zu haben, die die Motorplatine bietet.

Dann wird die Motorplatine mit der Hardware, die im Praktikum eingesetzt wird, in Verbindung gebracht. Das beinhaltet die Beziehung zwischen der Praktikumsplatine, dem WLAN-Modul und der Motorplatine. Dies ist die Plattform, die im Praktikum benutzt wird. Sie stellt somit die Umgebung dar, in der die Software eingesetzt wird. Die Software muss den Anforderungen dieser Umgebung genügen.

Für die Implementierung dieser Betriebssoftware wurde als Programmiersprache C [2] vorgegeben, deren Standard C99 ausgewählt wurde. Da diese Software für längere Zeit eingesetzt werden soll, waren die Wartbarkeit und die Möglichkeit, die Software einfach erweitern zu können, dominante Designaspekte. Kaum weniger wichtig war die Anforderung, dass die Software ihre Arbeit performant und zuverlässig ausführt.

Zur Untersuchung der Performance und der Zuverlässigkeit wurden ein Logikanalyzer und ein Oszilloskop benutzt, die die Flanken und deren Länge an nach außen gelegten Pins gemessen haben. Diese Pins wurden für die Untersuchung von der Betriebssoftware an wichtigen bzw. kritischen Stellen im Programmcode gesetzt und wieder gelöscht.

## *1 Einleitung*

## 2 Überblick über die Hardware

Die Motorplatine wurde im Zuge der Studienarbeit von Timo Klingenberg [1] entwickelt.

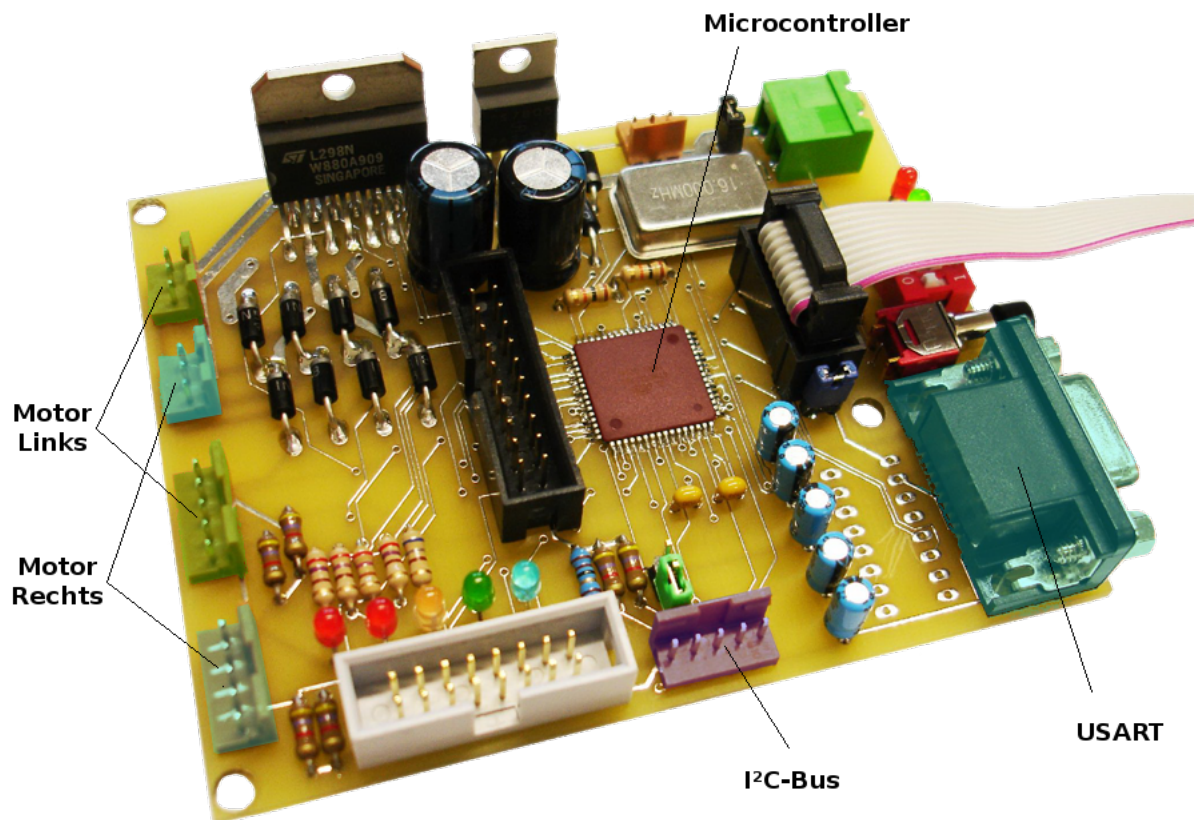


Abbildung 2.1: Die Motorplatine

### 2.1 Mikrocontroller

Das Herzstück der Platine bildet ein Mikrocontroller der Firma Atmel. Es handelt sich hierbei um einen ATMEGA2561[3], der 256 KiB Speicher für Programme (Flash) hat, sowie 8 KiB Speicher für Variablen (SRAM). Der maximale Takt für diesen Mikrocontroller liegt bei 16 MHz, der auch ausgenutzt wird. Das bedeutet, dass ein Takt 62,5 ns benötigt. Da der Großteil der Instruktionen des Mikrocontrollers nur einen Takt benötigt, kann dieser theoretisch 16 MIPS an Leistung erreichen. Durch die Benutzung

## 2 Überblick über die Hardware

von Funktionen, Pin-IO und bedingten Sprüngen bleibt dies aber nur eine theoretische Zahl. Vorteilhafterweise unterstützt der Controller das ISP (In-System Programming). Dies war bei der Entwicklung der Betriebssoftware von großem Nutzen, da hierdurch schnell und relativ unkompliziert neue Versionen auf die Platine überspielt werden konnten.

Der Controller verfügt über 6 Timer, zwei von diesen sind nur 8-Bit, die anderen vier allerdings haben 16-Bit, was bei dem gegebenen Takt von 16 MHz einen maximalen Timer-Intervall von 262 ms entspricht. Zusätzlich kann der Controller sechs Puls-Weiten-Modulationen betreiben, von denen zwei für die Benutzung der Servomotoren, die die Räder antreiben, benutzt werden.

### 2.2 Ein-/Ausgabemöglichkeiten zur Praktikumsplatine

Die Motorplatine verfügt sowohl über einen UART-Port, als auch einen I2C-Bus [4], über die die Praktikumsplatine mit der Motorplatine kommunizieren kann. Der UART-Port wird außerdem für die Ausgabe von Debug-Informationen benutzt, falls dies aktiviert wird. Im allgemeinen Fall wird allerdings nur der I2C-Bus zur Kommunikation zwischen den beiden Platinen verwendet. Da der Mikrocontroller über eingebaute Hardwarelogiken sowohl für den I2C-Bus als auch für den UART-Port verfügt, hält sich der administrative Aufwand für die Kommunikation sehr in Grenzen. Es können lediglich Interrupt Service Routinen (ISR) für diese zur Verfügung gestellt werden, die es dann ermöglichen schnell auf Situationen zu reagieren und ohne die Gefahr einzugehen Informationen zu verlieren.

### 2.3 Interne Ein-/Ausgabe-Ports

Zusätzlich zu den externen Kommunikationsmöglichkeiten, besitzt der ATMEGA2561 54 programmierbare IO Kanäle, die in Ports mit je 8 Kanälen zusammenfasst werden. 16 von diesen Kanälen sind für die Steuerung der Servomotoren zuständig, die die Räder antreiben, sowie bieten Rückmeldung von den Hall-Sensoren, die an den Motoren befestigt sind, um bei Bewegung der Räder Interrupts auslösen zu können und aus den Informationen der Sensoren schließen zu können, in welche Richtung die Räder sich drehen, was wiederum notwendig ist um nur eine bestimmte Strecke zu fahren. Für jede Umdrehung eines Rades werden 360, also für jedes Grad einer, Interrupts ausgelöst, je nachdem wie groß der Durchmesser des Rades ist, ist eine Steckenauflösung von wenigen Millimetern möglich.

## 3 Einsatz im Praktikum

Im Praktikum "Programmierung eingebetteter Systeme" wird den Studenten der Umgang mit kleinen Systemen, die sich wesentlich von den bekannten IBM-PC-kompatiblen Systemen unterscheiden. Sowohl was die Rechenleistung, Speicherplatz, als auch Kommunikationsmöglichkeiten angeht. Die meisten Praktikanten kennen nur das Programmieren für ein Betriebssystem, bzw immer mit dem Hintergedanken, dass das Programm auf einem solchen Betriebssystem läuft. Auf diesen kleinen Systemen, mit denen die Studenten im Praktikum konfrontiert werden, läuft kein Betriebssystem, lediglich ein Bootloader, der es ermöglicht neue Programme auf die Platine zu laden, um diese dann auch ausführen zu können. Im Laufe des Praktikums lernen die Studenten, wie man Programme in C schreibt, wie die Timer und andere angeschlossene Geräte verwendet werden, wie z.B. ein LCD oder ein Servomotor. Außerdem wird den Studenten vermittelt, wie der I2C-Bus funktioniert und wie man diesen benutzt.

Im zweiten Teil des Praktikums können die Studenten sich für ein Projekt entscheiden, welches sie durchführen möchten (diese Projektideen kommen auch von den Studenten). Als Plattform für ihre Projekte wird ihnen ein Fahrzeug zur Verfügung gestellt. Dieses Fahrzeug besitzt die aus dem ersten Teil des Praktikums bekannte Platine (von nun an Praktikumsplatine genannt), ein WLAN-Modul, das das Programmieren der Praktikumsplatine ohne Kabel ermöglicht, außerdem können hierüber Daten mit der Praktikumsplatine während der Laufzeit ausgetauscht werden. Zusätzlich besitzt das Fahrzeug eine Motorplatine mit zugehörigen Motoren und Rädern, die zur Fortbewegung des Fahrzeugs benutzt werden. Diese Motorplatine wird mithilfe von Befehlen, die die Praktikumsplatine sendet, gesteuert und diese wiederum steuert die Motoren. Die Motorplatine, für die die Betriebssoftware in dieser Arbeit entwickelt wurde, wird im Allgemeinen von den Studenten nur benutzt, nicht modifiziert (auch wenn ihnen dies frei steht). Diese Leistungen, die die Motorplatine bereitstellt, sollten nicht die Studenten behindern, sondern auch einfach anzusprechen sein, damit diese sich auf das Implementieren ihres eigenes Projektes konzentrieren können.

### *3 Einsatz im Praktikum*

## 4 Design und Designentscheidungen

Die Betriebssoftware wurde in Module aufgeteilt, wobei eine Code-Datei einem Modul zugeordnet ist und ein Module mehrere Code-Dateien umfassen kann. Es wurde besonderer Wert darauf gelegt, dass Module so wenig wie möglich andere Module aufrufen und dies auch nur durch Funktionen und nicht durch Variablen. Dieses Prinzip musste allerdings während der Optimierungs- und Testphase geringfügig aufgeweicht werden, da entweder der Code dadurch unleserlich wurde oder der Preis für einen Funktionsaufruf zu hoch war in Relation zu dem Nutzen, der dadurch erzielt wurde. Somit gibt es nun vier bis fünf globale Variablen, die sich während der Laufzeit ändern können und in unterschiedlichen Modulen direkt referenziert werden. Geändert werden diese allerdings nur in sehr wenigen Funktionen, in denen dies auch explizit kommentiert wurde. Außerdem wurde in den Coding-Guidelines extra auf den Umstand hingewiesen wenn möglich keine Funktionen zu schreiben, die die globalen Variablen verändern und wenn doch dies explizit zu dokumentieren. Neben diesen maximal fünf Verhaltens verändernden globalen Variablen gibt es vier weitere Variablen in zwei verschiedenen Modulen, die jeweils aus einem anderen Modul explizit gesetzt werden. Dies sind die Trigger-Werte für die Position und die Zeit. Diese werden nur durch den Drive, bzw den Advanced Drive Befehl gesetzt und während der Motor Interrupts nach und nach decrementiert. Über die Module wird in den Unterkapiteln genauer eingegangen.

### 4.1 System

Das als System bezeichnete Modul beinhaltet die Hauptschleife der Betriebssoftware, sowie die Initialisierung aller anderen Submodule. Es benutzt ein paar wenige Module um seine Aufgabe in einem abstrakten Maße zu erfüllen. Während der Hauptschleife, die in gekürzter Fassung (Kommentare und Debug-Ausgaben entfernt) in Abb. 4.1 zu sehen, werden nur ein paar wenige Funktionen aufgerufen, die die wichtigen Module auf dem aktuellen Stand halten und damit es ermöglichen, dass Daten zwischen den Modulen fließen kann.

### 4.2 Debug

Eigene Mechanismen zum Debugging sind genau dann sehr wichtig, wenn man nicht mit den gewohnten Werkzeugen dies tun kann. Während der Laufzeit verstehen was in dem kleinen Mikrocontroller vor sich geht ist essentiell, allerdings auch nicht sehr simpel, denn die einzigen Möglichkeiten, die die Platine hat mit der Außenwelt zu kommunizieren beschränken sich auf 5 LED's, ein 4\*20 Zeichen LCD, eine UART und eine I2C-Bus Schnittstelle. Der Aussagegehalt von den LED's (insbesondere da diese sich geweigert haben zuverlässig zu funktionieren) und der LCD ist doch sehr

## 4 Design und Designentscheidungen

```
while(1) {
    copy_timer_flags();

    process_orders();

    if (LCD_PRESENT)
        lcd_update_screen();

    parser_update();

    queue_update();
}
```

Abbildung 4.1: Die Hauptschleife

begrenzt (man kann nicht viele Informationen auf einem 4\*20 Zeichen LCD unterbringen). Die Wahl fiel dann auf die UART Schnittstelle, da der Arbeitscomputer, an dem das Debugging durchgeführt wurde einen solchen Anschluss besitzt, aber über keinen I2C Anschluss verfügt. Mithilfe der Debugausgaben kann man protokollieren, was das System in jedem Schleifendurchlauf getan hat und dadurch das Verhalten analysieren, um schlussendlich Fehler aufzuspüren.

### 4.3 Drive, Motor und PID

Das Motor bindet zum einen das System an die Motoren und an die anderen nötigen Fahrelemente an, wohingegen das Drive Modul die Services, die das Motor Modul anbietet abstrahiert und in einer weise Zusammenfasst, die es dem System erlaubt auf sehr einfache Art und Weise die Motoren zu bedienen. Das PID Modul, welches größtenteils aus der vorhergegangenen Studienarbeit übernommen wurde [1], ist für den Fehlerausgleich der Radbewegungen zuständig. Genauer: Es errechnet die korrigierten Werte für die Räder, die dann vom Drive Modul an diese auch weiter geleitet werden. Die Fehler die auftreten können sind vielfältig und nicht besonders groß, wie zum Beispiel eine kleine Varianz in der Geschwindigkeit eines Rades oder ähnliches. Damit aber das Fahrverhalten stabiler wird müssen diese Fehler korrigiert werden.

### 4.4 IO, I2C und UART

Das IO Modul stellt für das System einheitliche Funktionen zur Verfügung um Daten zu lesen als auch zu schreiben. Hierbei kann es dem Benutzer der Funktionen egal sein, welche Schnittstelle letztendlich für die Kommunikation genutzt wird. Das IO Modul kümmert sich um die Unterschiede zwischen UART und I2C. Sowohl das I2C als auch das UART Modul kümmern sich hauptsächlich um das Initialisieren der Hardware und das behandeln der Interrupt Service Routinen.

### 4.5 Order und Queue

Das Order Modul ist das größte aller Module. Es beinhaltet zum einen den Typ, mit dem Befehle intern dargestellt und verarbeitet werden. Aufbauend auf den Typ, dem



einige unterstützende Funktionen zugeteilt sind um wiederkehrende Aufgaben zu erleichtern, existiert im Order Modul auch die Order Funktionen. Diese Order Funktionen sind Handler-Funktionen für die im Protokoll spezifizierten Befehle. Falls ein Befehl länger benötigt, bis er als beendet gelten kann, wird die entsprechende Order Funktion mit dem korrespondierenden Befehl in jeder Iteration der Hauptschleife aufgerufen. Diese kann dann eventuell Wartungsarbeiten an dem Befehl durchführen und überprüfen, ob dieser beendet ist und entsprechend seinen Status ändern. Durch diesen Aufbau ist eine Iteration der Hauptschleife sehr kurz, aber auch komplizierte Befehle oder solche deren Parameter und Durchführung überwacht werden müssen sind hierdurch möglich.

Durch das Queue Modul ist es möglich der Motorplatine mehrere Befehle direkt hintereinander zu übermitteln, die dann einer nach dem anderen ausgeführt werden, außerdem kümmert die Queue sich darum, das Prioritäts-Befehle nicht eingereiht werden sondern bei der nächsten Iteration der Hauptschleife ausgeführt werden.

## 4.6 Timer, Parser und Options

Diese drei Module haben hauptsächlich eine unterstützende Funktion, so bringt das Timer Modul die Möglichkeit mit in bestimmten zeitlichen Intervallen Befehle auszuführen. Der Parser fasst einzelne Bytes logisch zu Befehlen zusammen und übergibt diese der Queue. Das Options Modul beinhaltet die Einstellungen, die das Verhalten des gesamten Systems beeinflussen, wie z.B. ob Debugging Ausgaben aktiviert sind, mit was für einer Geschwindigkeit das ABS bremst und einiges mehr.

#### *4 Design und Designentscheidungen*

## 5 Implementierung der Betriebssoftware

Die Betriebssoftware wurde, wie in der Aufgabenstellung festgelegt in C geschrieben. Hierbei fiel die Wahl auf den Standard C99, der mit einigen sprachlichen Aktualisierungen gegenüber C89 aufwarten kann. Als Compiler wurde eine Version der GNU Compiler Collection (GCC) mit einem Backend für AVR-kompatiblen Assembler benutzt. Außer der C Standard Library und der AVR IO Library besitzt die Software keine externen Abhängigkeiten im Code.

### 5.1 Die Hauptschleife

Die Hauptschleife ist in dieser Implementierung eine Endlosschleife, da die Beendigung dieser Schleife dazu führen würde, dass das System nicht mehr reagiert. Wie in Abb. 4.1 zu sehen ist, werden in der Hauptschleife vier wichtige Funktionen aufgerufen.

#### 5.1.1 process\_orders()

Die process\_orders()-Funktion bearbeitet die Befehle, die bereits in der Queue sind. Dafür holt sich die Funktion den aktuellen Befehl von der Queue. Falls es solch einen Befehl gibt ruft die Funktion eine Verteilerfunktion auf. Diese wiederum ruft die zugehörige Befehlsfunktion auf, indem die untersten vier Bits des ersten Befehlsbytes als Index für eine Call-Table benutzt werden (siehe Abb. 5.1).

Falls kein Befehl vorliegt oder die Queue angehalten wurde, ruft die process\_orders()-

```
// That means, call the right function
if(order_array[order->data[0] & 0x0f] != 0) {
    order_array[order->data[0] & 0x0f](order);
} else { // Set the Order status to done if there is no function for this order
    order->status |= ORDER_STATUS_DONE;
}
```

Abbildung 5.1: Die Verteilerfunktion

Funktion die Funktion zum aktiven Bremsen auf. Das aktive Bremsen wird in später noch diskutiert.

#### 5.1.2 lcd\_update\_screen()

In dem Fall, dass ein LCD angeschlossen ist, können dort Informationen ausgegeben werden. Ob ein LCD angeschlossen ist wird über die Stellung eines DIP-Schalters auf

## 5 Implementierung der Betriebssoftware

der Platine geregelt.

Da das synchrone Aktualisieren des LCD sehr viel Zeit benötigt (vgl. § Untersuchung-LCD-Problem<sub>4</sub>), wird während dieser Funktion maximal ein Zeichen an das LCD geschickt. Dies wird erreicht indem das Busy-Flag, welches signalisiert, dass das LCD noch beschäftigt ist, abgefragt wird. Falls es nicht gesetzt ist und es noch Daten zum aktualisieren gibt, wird das nächste Zeichen an das LCD gesendet.

Auf dem LCD werden die Versionsnummer der Betriebssoftware, der Status einiger Systemweiter Variablen und der aktuelle ausgeführte Befehl angezeigt. Falls nun ein Befehl bearbeitet wird, der länger als einen Schleifendurchlauf benötigt (das sind z.B. alle Fahr-Befehle), ruft die `lcd_update_screen()`-Funktion die `lcd_update_info()`-Funktion auf, die diese Informationen in einem Puffer konstruiert. Nach und nach gibt die `lcd_update_screen()`-Funktion den Inhalt dieses Puffer an das LCD weiter.

Befehle die innerhalb eines Hauptschleifendurchlaufs abgearbeitet sind werden nicht ausgegeben und generieren auch keinen Aufruf von `lcd_update_info()`. Dies ist nötig, da diese Befehle zu schnell abgearbeitet werden. Es können vier bis fünf dieser Befehle abgearbeitet werden, bevor das LCD auch nur einmal vollständig aktualisiert werden kann.

### 5.1.3 `parser_update()`

Der Parser ist dafür zuständig aus den Bytes, die über I2C oder UART gelesen werden, Befehle in Form von `order_t`-Strukturen zu erstellen. Die `parser_update()`-Funktion fragt beim IO-Modul nach, wieviele Bytes zum Abholen bereit stehen. Diese werden dann geholt und an die Funktion `parser_add_byte()` übergeben.

Diese `parser_add_byte()`-Funktion fügt das Byte an die korrekte Stelle im Puffer ein. Wenn ein Befehl komplett ist, was mit der `parser_order_complete()`-Funktion überprüft wird, gilt der Befehl als fertig und alle weiteren Bytes, die hinzugefügt werden, landen in einer neuen `order_t`-Struktur.

Damit erkannt werden kann, wann ein Befehl zu ende ist benutzt die `parser_order_complete()`-Funktion die `bytes_needed()`-Funktion, in der fest codiert ist, welcher Befehlscode mit welchen Optionen wieviele Bytes benötigt. Dies ist auch eine der Stellen, die angepasst werden müssen, wenn ein neuer Befehl hinzugefügt wird, oder bestehende verändert werden.

### 5.1.4 `queue_update()`

Diese Funktion führt Wartungsarbeiten an der Befehlswarteschlange (Queue) durch. Dies beinhaltet neue Befehle beim Parser-Modul abzuholen und diese korrekt einzureihen. Es gibt zwei Möglichkeiten, wie die Queue diese neuen Befehle einreihen kann. Zum einen als normale Befehle, diese werden einer nach dem anderen abgearbeitet, zum anderen als priorisierte Befehl. Es kann nur ein priorisierter Befehl in der Queue sein. Diese Befehle werden umgehend in der nächsten Hauptschleifeniteration ausgeführt. In die Kategorie der priorisierten Befehle fallen alle Queue-Kontroll-Befehle, wie z.B. pausieren, löschen, aktuellen Befehl verwerfen, etc. (vgl. Protokoll-Spezifikation im Anhang).

## 5.2 Das Aktive BremsSystem (ABS)

Das aktive Bremssystem bewirkt, dass die Räder versuchen ihre Position nicht zu verlassen. Dies wird realisiert indem eine Referenz-Position für jedes Rad gespeichert wird. Während der Hauptschleife wird nun die tatsächliche Position mit der Referenz-Position verglichen. In dem Fall, dass diese Positionen nicht übereinstimmen, werden die Motoren mit einer einstellbaren Geschwindigkeit betrieben, um die Räder wieder auf die Referenz-Position zu bringen.

Die Referenz-Positionen werden an drei verschiedenen Stellen im Code gesetzt. Zum einen in der `process_orders()`-Funktion in der Hauptschleife, wenn der aktuelle Befehl beendet wurde, zum anderen in den Fahr-Befehls-Funktionen, falls ein Rad früher als das andere seine Stopp-Bedingung erreicht hat.

Das ABS kann vom Benutzer während das System läuft, angepasst werden. So kann man die Geschwindigkeit ändern, mit der die Motoren die Positions-Differenz ausgleichen. Außerdem kann man Teile des ABS deaktivieren oder auch wieder reaktivieren sowie das gesamte ABS abschalten, bzw. wieder anschalten. Damit kann der Benutzer das ABS an seine Wünsche anpassen.

## 5.3 Befehle: Struktur und Funktionen

Die Struktur (Abb. 5.2), die einen Befehl im System repräsentiert, besteht hauptsächlich aus einem Array, in dem die eigentlichen Daten gespeichert sind, und einem Status-Byte, in dem Statusinformationen in Form von Flags gespeichert werden. Das erste

```
typedef struct ORDER {
    uint8_t data[ORDER_TYPE_MAX_LENGTH];
    uint8_t status;
} order_t;
```

Abbildung 5.2: Befehlsstruktur

Byte dieses Arrays ist das Typ-Byte, das die Art des Befehls und die zugehörigen Optionen spezifiziert. Der Befehlscode (die unteren vier Bits des Typ-Bytes) 0 ist für zukünftige Erweiterungen Reserviert, die mehr als ein Typ-Byte benötigen. Desweiteren sind die Befehlscodes 1 bis 6 durch diese Arbeit bereits definiert und mit Funktionalität erfüllt. Die Befehlscodes 7 bis 15 sind noch nicht definiert und können für zukünftige Erweiterungen benutzt werden, die mit einem Typ-Byte auskommen.

Alle auf das Typ-Byte (oder die Typ-Bytes im Falle des Befehlscodes 0) folgenden Bytes sind Parameter. Die Anzahl und Länge dieser hängt von der Spezifikation des Befehls ab. Grundsätzlich gilt aber, dass bei Parametern, mit mehr als ein Byte Länge, zuerst das höchstwertige Byte im Array gespeichert wird, dann absteigend bis zum niederwertigsten Byte.

Oft benutzte Aktionen bezüglich der Befehlsstruktur wurden zusammengefasst (siehe Abb. 5.3 und 5.4). Vor der Untersuchung des Laufzeilverhaltens und der damit einhergehenden Optimierungen, wurden diese beiden Funktionen durch `for`-Schleifen implementiert, was sich aber als langsamer als die Standard C Funktionen `memset()` und `memcpy()` herausstellte.

```
void order_init(order_t *order) {  
    // Function to Initialize a order_t structure  
    // Overwrite every piece of memory with 0  
    memset(order->data, 0, ORDER_TYPE_MAX_LENGTH);  
    // Set the Status of the order to Initialized  
    order->status = ORDER_STATUS_INITIALIZED;  
}
```

Abbildung 5.3: order\_init()-Funktion

```
void order_copy(const order_t * const from, order_t *to) {  
    // Used to copy the order data from one to another  
    memcpy(to->data, from->data, ORDER_TYPE_MAX_LENGTH);  
    to->status = from->status;  
}
```

Abbildung 5.4: order\_copy()-Funktion

### 5.4 Datenpfad von Befehlen

Befehle werden entweder über die UART oder die I2C Schnittstelle byteweise empfangen. Diese Schnittstellen werden über Interrupt Service Routinen bearbeitet, um zeitnah auf eingehende Daten zu reagieren, da diese Übertragung die größte Latenz-Quelle darstellt (I2C: ca. 270 us pro Byte; UART: ca 139 us pro Byte). In diesen Interrupt Service Routinen wird das empfangene Byte in den Eingangspuffer gelegt. Wenn die Hauptschleife wieder die parser\_update()-Funktion erreicht, wird die bisher empfangene Bytes abgeholt und in der Parser-Puffer abgelegt, um aus den Bytes order\_t Struktur Instanzen zu generieren. Wenn der Befehl fertig im Parser vorliegt, ruft ihn queue\_update() ab und reiht ihn in die Warteschlange ein (siehe Kapitel 5.1.4). Von der Warteschlange holt sich die process\_orders()-Funktion den aktuellen Befehl und führt die zugeordnete order\_function-Funktion solange aus, bis im Status-Byte (vgl. Abb. 5.2) das ORDER\_STATUS\_DONE Flag gesetzt wurde und entfernt diese dann aus der Warteschlange.

Falls der Befehl, der bearbeitet wird, eine Ausgabe von Daten bewirkt, wird in der entsprechenden order\_function-Funktion die auszugebenden Daten in den Ausgabepuffer des IO-Framework eingereiht. Dieses Framework wird dann, sobald möglich, diese Daten über die ausgewählte Schnittstelle senden (bei UART wird sofort angefangen zu senden, bei I2C muss gewartet werden, bis die Daten vom Benutzer abgerufen werden).

### 5.5 Debug-Ausgaben

Das Problem mit Debug-Ausgaben ist, dass sie notwendig sind, insbesondere wenn die Benutzung eines üblichen Debuggers nicht ohne weiteres möglich ist. Debug-Ausgaben benötigen entsprechenden Code, nicht nur um die Ausgaben überhaupt zu ermöglichen, sondern auch an vielen Stellen im Code, um wirklich etwas zu bestimmten Zeitpunkten auszugeben. Diese Ausgaben, selbst wenn sie nicht gemacht werden müssen, indem sie mit if-Statements umschlossen werden (siehe Abb. 5.5), verlangsamen das gesamte System. Während der normalen Operation der Betriebssoftware im

Praktikum, sind diese Ausgaben nicht nötig und für die meisten Teilnehmer des Praktikums, nicht informativ. Damit die Ausgaben zum Zweck der Fehlerbehebung benutzt werden können, muss der Leser eine entsprechende Kenntniss des Codes vorweisen. Aufgrund dieser fragwürdigen Hilfe, die diese Ausgaben einem durchschnittlichen Praktikanten bieten, und der negativen Auswirkung der Ausgaben auf die Performance des Systems, wurde ein Prä-Prozessor Trick angewandt, der zusammen mit der eingestellten Stufe der Code-Optimierung des Compilers diese beiden Probleme löst. Durch diesen Trick werden die Debug-Ausgaben nur dann mitkompiliert, wenn dem Compiler der Parameter `-DDEBUG` übergeben wird. Selbst dann ist es noch möglich mit einem DIP-Schalter auf der Platine die Ausgaben auszuschalten, dann hat man aber immernoch die leichten negativen Auswirkungen auf die Performance.

```
#ifndef DEBUG
    #define DEBUG_ENABLE 0
#endif
-----
#ifdef DEBUG

uint8_t DEBUG_ENABLE;
#endif
-----
if (DEBUG_ENABLE) {
    debug_WriteInteger(PSTR("queue.c : queue_update() : order opcode is = "), local_order.data[0]);
    debug_WriteInteger(PSTR("queue.c : queue_update() : order status is = "), local_order.status);
}
```

Abbildung 5.5: Debug-Defines und die Verwendung im Code

## 5.6 IO-Framework

Das Ziel des IO-Frameworks war die Abstraktion der Ein- und Ausgabe von Daten von den zu grunde liegenden Schnittstellen. Die UART und die I2C Schnittstelle sind in der Benutzung sehr unterschiedlich. Statt überall im Code wo E/A stattfindet jeweils für beide Schnittstellen Code einzufügen, wurde das IO-Framework als Zwischenschicht entwickelt. Es verfügt über sowohl über einen Ausgabe- als auch über einen Eingabepuffer. Diese sind jeweils auf 256 Bytes festgelegt. Durch diese Definition konnte das normale Überlaufverhalten der 8-Bit-Variablen ausgenutzt werden, um Modulo-Operationen zu ersetzen, welche ungerechtfertigt viel Zeit in Anspruch nehmen.

Eine Besonderheit ist die Objektbasierte Ausgabe von Daten. Ein Objekt hat mindestens ein Byte und maximal 256 Byte. Objekte werden bei entweder komplett Übertragen oder gar nicht. Wenn ein Objekt nicht komplett übertragen werden konnte, wird bei der nächsten Übertragen vom Anfang der Objektes wieder angefangen. Außerdem bewirkt die Ausgabe von Objekten bei Benutzung der I2C Schnittstelle, dass für jede Lese-Operation, die von der Praktikumsplatine eingeleitet wird, ein Objekt übermittelt wird.

E/A-Operationen geschehen nicht-blockend und gepuffert. Damit verbraucht die E/A nur Prozessorzeit, wenn es nötig ist und verschwendet diese nicht mit aktiven Warten.

## *5 Implementierung der Betriebssoftware*



## 6 Untersuchung des Laufzeitverhaltens

Die Untersuchung der Laufzeitverhaltens wurde mithilfe eines Logik- Analysers durchgeführt. Ein Logikanalyser misst wie lange und wann ein Pin 1 und/oder 0 ist. Die Pins, die nötig sind um diese Messungen durchzuführen, dürfen noch nicht belegt sein. Vorteilhafterweise besitzt die Platine zwei Ports, die noch nicht belegt sind aber trotzdem nach draußen gelegt wurden, somit konnte der Logik- Analyser an die Platine angeschlossen und ein kleines Modul geschrieben werden, um diese Pins setzen und wieder löschen zu können. Diese Operationen wurden als Makros implementiert um den Messoverhead so gering wie möglich zu halten. Wie hier beschrieben sind die Zeiten für

| Makro        | benötigte Takte | benötigte Zeit bei 16 MHz |
|--------------|-----------------|---------------------------|
| pin_set()    | 2               | 125 ns                    |
| pin_clear()  | 2               | 125 ns                    |
| pin_toggle() | 4               | 250 ns                    |

Tabelle 6.1: Benötigte Takte/Zeit für Pin-Operationen

das Ausführen der Instruktion zum setzen, löschen und umschalten von einzelnen Pins ziemlich gering. Doch bei den Messungen insbesondere mit einem Leistungsfähigen und sehr genauen Oszilloskop konnte herausgefunden werden, dass das eigentliche Wechsel des Stroms am Pin verhältnismäßig langsam durchgeführt wird, insbesondere das Abfallen des Stromes, also bei einer fallenden Flanke benötigt ungefähr 2 us von denen allerdings, und hier liegt das Problem, zwischen 0.5 und 1 us fälschlicherweise als "high" gemessen wird. D.h. der Logikanalyser misst eine gewisse Zeitspanne einen "falschen" Wert. (Er ist nicht physikalisch falsch nur logisch). Denn wenn der Strom abfällt ist der bin schon nicht mehr gesetzt, der Logikanalyser allerdings betrachtet dies teilweise immer noch als gesetzt. Aufgrund dieses Umstandes als auch der Tatsache, dass das System nicht untersucht werden kann ohne einen geringen Fußabdruck zu hinterlassen, sind die Messungen mit einem abschätzbaren aber nicht genau vorher-sagbaren Fehler im Vergleich zur Wirklichkeit behaftet.

### 6.1 Erste Messungen

Durch die ersten Messungen wurde der Startpunkt für die Untersuchung der Software festgelegt. Dafür wurde in der Hauptschleife (siehe Abb. 6.1) zum einen ein pin\_toggle() eingebaut, um die Länge einer Schleifeniteration zu messen, zum anderen wurde die einzelnen Funktionsaufrufe in der Hauptschleife mit pin\_set() und pin\_clear() umgeben. In der Tabelle 6.2 sind die Wichtigsten Daten der ersten Messrei-

## 6 Untersuchung des Laufzeitverhaltens

```
while(1) {
    pin_toggle A(0);
    // Copy global timer flags to a local copy, which will be used throughout the program.
    // This is done to not miss a timer tick.
    local_time_flags = timer_global_flags;
    timer_global_flags = 0;

    // Processes the next or current order
    if (DEBUG_ENABLE)
        debug_WriteString_P(PSTR("main.c : main() : process_orders()\n"));
    pin_set A(1);
    process_orders();
    pin_clear A(1);

    // If a LCD is plugged in we get nice status messages on it
    pin_set A(2);
    if (LCD_PRESENT)
        lcd_update_screen();
    pin_clear A(2);

    // Update the order parser
    if (DEBUG_ENABLE)
        debug_WriteString_P(PSTR("main.c : main() : parser_update()\n"));
    pin_set A(3);
    parser_update();
    pin_clear A(3);

    // Housekeeping for the order queue
    if (DEBUG_ENABLE)
        debug_WriteString_P(PSTR("main.c : main() : queue_update()\n"));
    pin_set A(4);
    queue_update();
    pin_clear A(4);
}
```

Abbildung 6.1: Die Hauptschleife mit Debugausgaben und Pin-Operationen

hen zusammen gefasst. Die Spalte "Rahmenbedingungen" beschreibt Bedingungen während der Messung geherrscht haben. Hierbei bezeichnet die Bedingung "AB:EIT", dass das aktive Bremsen (AB:) eingeschaltet (E; Enable) ist und sowohl aktiviert wird, wenn kein Befehl bearbeitet wird(I; Idle) oder eines der Räder seinen Trigger früher erreicht hat als das andere (T; Trigger). "I2C an" bezeichnet, dass der I2C-Bus für die E/A-Operationen verwendet wurde und nicht die UART Schnittstelle. Interessant ist bei diesen Daten, dass das aktualisieren der Warteschlange, wenn ein Befehl vorliegt, gut eine halbe millisekunde benötigt.

## 6.2 Das LCD-Problem

Wie in der Tabelle 6.2 zu sehen ist, benötigt das System zum aktualisieren der Informationen des LCD über drei millisekunden. Damit ist diese Funktion die mit Abstand zeitintensivste im gesamten System. Zwar ist das Aktualisieren recht selten, nämlich nur, wenn ein neuer Befehl gestartet wird, aber haben drei millisekunden Latenz eine negative Wirkung auf die Reaktion des Systems auf Ereignisse. So können während der drei Millisekunden ungefähr zwölf Bytes auf dem I2C Bus eintreffen, was im schlimmsten Fall sechs eigenständige Befehle wären. Wenn diese Befehle priorisierte Befehle sind, so könnte sich das System unerwartet verhalten.

Damit dieses Problem gelöst werden konnte, musste die Arbeitsweise des LCD, welches durch eine fertige Programm-Bibliothek gesteuert wird, analysiert werden. Da-

| <b>Funktion</b>     | <b>Zeit</b>      | <b>Rahmenbedingungen</b>                      |
|---------------------|------------------|---|
| Hauptschleife       | 27,916 $\mu$ s   | Idle, LCD an, DEBUG aus, I2C an, AB:EIT       |
| process_orders()    | 11,964 $\mu$ s   |   |
| lcd_update_screen() | 3,988 $\mu$ s    |   |
| parser_update()     | 3,988 $\mu$ s    |   |
| queue_update()      | 3,988 $\mu$ s    |   |
| Hauptschleife       | 47,856 $\mu$ s   | ABS aktiv im Idle Status, ansonsten wie oben  |
| process_orders()    | 31,904 $\mu$ s   |   |
| lcd_update_screen() | 3,988 $\mu$ s    |   |
| parser_update()     | 3,988 $\mu$ s    |   |
| queue_update()      | 3,988 $\mu$ s    |   |
| I2C-Bus ISR         | 4,586 $\mu$ s    | Adresse empfangen                             |
| I2C-BUS ISR         | 21,934 $\mu$ s   | Daten empfangen                               |
| 100ms ISR           | 8,076 $\mu$ s    |   |
| Hauptschleife       | 718,843 $\mu$ s  | LCD aus, Byte in Parser, Befehl bereit        |
| process_orders()    | 39,880 $\mu$ s   | I2C ISR (Daten) aufgetreten                   |
| lcd_update_screen() | 0,997 $\mu$ s    |   |
| parser_update()     | 175,474 $\mu$ s  |   |
| queue_update()      | 505,484 $\mu$ s  |   |
| Hauptschleife       | 3614,000 $\mu$ s | LCD an, Befehl in Queue, aber nicht gestartet |
| process_orders()    | 358,923 $\mu$ s  |   |
| lcd_update_screen() | 3250,000 $\mu$ s |   |
| parser_update()     | 6,032 $\mu$ s    |   |
| queue_update()      | 5,583 $\mu$ s    |   |

Tabelle 6.2: Ergebnisse der ersten Messungen

durch wurde herausgefunden, dass die Funktionen, die Daten auf das LCD ausgeben, aktives Warten betreiben. Ein LCD benötigt natürlich Zeit, um ein übermitteltes Zeichen auch anzeigen zu können. Während dieser Zeit wird das sog. Busy-Flag gesetzt, welches anzeigt, dass das LCD noch beschäftigt ist. Erst wenn dieses Flag nicht mehr gesetzt ist darf ein neues Zeichen übermittelt werden. Beim aktiven Warten verbraucht die Funktion unnötig CPU-Zeit, die sinnvoll genutzt werden könnte.

Mit diesem Wissen wurde die ursprüngliche lcd\_update\_screen()-Funktion in zwei Funktionen aufgeteilt. Die eine wurde lcd\_update\_info() genannt und aktualisierte die LCD-Informationen in einem Speicherpuffer. Die andere, immer noch lcd\_update\_screen() genannt, überprüft das Busy-Flag des LCD's und schreibt das nächste Zeichen aus dem Speicherpuffer aufs LCD, wenn es nicht gesetzt ist. Wie in der Tabelle 6.3 zu sehen, hatten diese Maßnahmen ihre gewünschte Wirkung. Über 98% weniger Zeit wird nun im zeitintensivsten Fall benötigt. Dies hat seinen Nachteil in einer leicht erhöhten Laufzeit für das Aktualisieren des LCD im Ruhezustand. Diese Zeit hat sich von durchschnittlich 4  $\mu$ s auf 9  $\mu$ s erhöht.

## 6 Untersuchung des Laufzeitverhaltens

| Funktion            | Zeit            | Verbesserung | Rahmenbedingungen                             |
|---------------------|-----------------|--------------|---|
| Hauptschleife       | 421,158 $\mu$ s | -88,32%      | LCD an, Befehl in Queue, aber nicht gestartet |
| process_orders()    | 354,627 $\mu$ s |              |   |
| lcd_update_screen() | 57,884 $\mu$ s  | -98,22%      |   |

Tabelle 6.3: LCD Ergebniss

### 6.3 Optimierung

Damit die Latenz des Systems möglichst niedrig ist, müssen die Funktionen, die in der Hauptschleife aufgerufen werden, unter allen Bedingungen möglichst effizient ihre Arbeit verrichten. Dazu wurde jede dieser Funktionen, mit dem Pin setzen und wieder löschen Verfahren, auf Möglichkeiten untersucht sie zu optimieren.

#### 6.3.1 Inlining von Funktionen

Die erste Möglichkeit, die in Betracht gezogen wurde, um die Latenz des Systems zu verringern, war die Verwendung von Compiler-Optimierungen. Zu Beginn wurde das System auf Code-Größe optimiert (-Os Option des Compilers). Da das System wesentlich weniger Speicher benötigt als auf der Platine zur Verfügung stehen, wurde nun der Compiler auf die Optimierung der Geschwindigkeit eingestellt (-O2 Option). Außerdem wurden die Debug-Informationen, die der Compiler dort platziert hat, entfernt (-g Option entfernt). Dadurch änderten sich die Parameter des Systems nicht wesentlich. Die Größe blieb nahezu identisch und die Geschwindigkeit wurde etwas besser, besonders bei langen Funktionen.

Nachdem verifiziert werden konnte, dass Funktionsaufrufe zwischen 1 und 2  $\mu$ s Overhead mit sich bringen, wurde die Compiler-Option -finline-functions aktiviert, die bewirkt, dass der Code genügend simpler Funktionen direkt in die aufrufende Funktion eingefügt wird, ohne dass dabei Register gerettet werden müssten oder ähnliches. Dies hatte deutlich merkbare Konsequenzen für die Geschwindigkeit des gesamten Systems, wie man in Tabelle 6.4 sehen kann.

#### 6.3.2 Eliminierung von Modulo-Operatoren

Während der Untersuchung der parser\_update()-Funktion wurde festgestellt, dass eine innere Funktion unverhältnismäßig viel Zeit benötigt, um ihre Aufgabe zu erfüllen. Dies war die io\_get()-Funktion, deren Aufgabe es ist das nächste Byte im Eingangspuffer an den Aufrufer zurück zu liefern. Für diese simple Operation benötigte über 36  $\mu$ s. Mehr als die gesamte Hauptschleife im Idle Zustand. Eine genaue Untersuchung der Funktion lies darauf schließen, dass die Anweisungen mit Modulo-Operationen für diesen Aufwand verantwortlich waren. Dies konnte zum einen durch Kontrolle des generierten Assembler Codes, zum anderen durch das Auslagern der Modulo-Operation in eine eigene Zeile bestätigt werden. Der Compiler generiert für die Modulo-Operation eine extra Funktion, die sehr kompliziert ist und offensichtlich eine Menge Zeit benötigt.

| Funktion            | Zeit            | Verbesserung | Rahmenbedingungen                             |
|---------------------|-----------------|--------------|---|
| Hauptschleife       | 420,659 $\mu$ s |              | LCD an, Befehl in Queue, aber nicht gestartet |
| process_orders()    | 355,289 $\mu$ s |              |   |
| lcd_update_screen() | 59,481 $\mu$ s  |              |   |
| parser_update()     | 4,146 $\mu$ s   |              |   |
| queue_update()      | 4,640 $\mu$ s   |              |   |
| Hauptschleife       | 285,643 $\mu$ s | -32,1%       | LCD an, Befehl in Queue, aber nicht gestartet |
| process_orders()    | 224,836 $\mu$ s | -36,72%      |   |
| lcd_update_screen() | 51,647 $\mu$ s  | -13,17%      |   |
| parser_update()     | 5,384 $\mu$ s   | +29,86%      |   |
| queue_update()      | 4,187 $\mu$ s   | -9,76%       |   |

Tabelle 6.4: Auswirkung von -inline-functions

```

uint8_t io_get(uint8_t* value) {
    pin_set_C(6);
    if ((inpos_begin + 1) % IO_INBUFFER_SIZE == inpos_end)
        return 0;
    pin_clear_C(6);
    pin_set_C(7);
    *value = in_buffer[inpos_begin];
    pin_clear_C(7);
    pin_set_C(1);
    inpos_begin = (inpos_begin + 1) % IO_INBUFFER_SIZE;
    pin_clear_C(1);
    return 1;
}

```

Es gibt zwei Möglichkeiten dies zu korrigieren: Zum einen kann die Modulo-Operation durch eine Reihe simplerer Operationen ersetzt werden. Zum anderen kann auf die Modulo-Operation komplett verzichtet werden, wenn man das Überlaufverhalten der Variablen ausnutzen kann. Die zweite Methode setzt voraus, dass der Puffer so viele Elemente hat wie der größte darstellbare Wert der Variablen plus eins. Da hier Variablen vom Typ `uint8_t` verwendet werden (unsigned 8-Bit integer; vorzeichenlose 8-Bit Ganzzahl) muss der Puffer 256 Elemente umfassen. Da diese Zahl bereits eingestellt war und diese Funktion sehr häufig verwendet wird, wurde hier die zweite Methode benutzt. Es wurde dadurch nicht mehr Speicher verwendet als vorher, aber die Methode lief daraufhin wesentlich schneller. Der Code sieht nun wie folgt aus:

```

uint8_t io_get(uint8_t* value) {
    uint8_t temp = (inpos_begin + 1);
    if (temp == inpos_end)
        return 0;
    *value = in_buffer[inpos_begin];
}

```

## 6 Untersuchung des Laufzeitverhaltens

| Funktion                 | Zeit           | Verbesserung |
|--------------------------|----------------|--------------|
| io_get()                 | 36,527 $\mu$ s |              |
| io_get() (umgeschrieben) | 3,393 $\mu$ s  | 75,19%       |

Tabelle 6.5: Ergebnisse der io\_get()-Messungen

```
    inpos_begin = temp;
    return 1;
}
```

Das selbe Problem existierte in der Queue, dort wurde allerdings die Modulo Operationen

```
queue_writeposition %= QUEUE_SIZE;
```

durch simplere Operationen ersetzt.

```
queue_writeposition -= (queue_writeposition
    / QUEUE_SIZE) * QUEUE_SIZE;
```

### 6.3.3 Effizienteres Initialisieren des Speichers

Die Funktionen zum initialisieren und kopieren von Befehlen wurden, aufgrund ihrer häufigen Verwendung ebenfalls untersucht. Die Befehlsstrukturen wurden einfach mithilfe von Schleifen mit dem Wert 0 initialisiert und beim Kopieren wurde ebenfalls mit einer Schleife die Werte von einem Befehl in den Nächsten kopiert. Diese Schleifen wurden durch die memset()- bzw. die memcpy()-Funktion aus der Standardbibliothek ersetzt. Dies führte zu einer 40%igen Geschwindigkeitszuwachs (siehe 6.6).

| Funktion              | Zeit           | Verbesserung |
|-----------------------|----------------|--------------|
| order_init()          | 13,968 $\mu$ s |              |
| order_init() (memset) | 7,976 $\mu$ s  | 42,9%        |

Tabelle 6.6: Ergebnisse der order\_init() Optimierung

### 6.3.4 Bedingtes Kompilieren von Debugausgaben

Wie in Kapitel 5.5 beschrieben wurde ein Sprachenspezifischer Trick verwendet, um die Möglichkeit zu besitzen einfach Diagnoseausgaben auszugeben, die im normalen Betrieb keine Auswirkung auf das Laufzeitverhalten des Systems haben. So generiert der Compiler für die Ausgaben keinen Code, solange nicht das Compilerflag -DDEBUG gegeben ist. Selbst wenn es gegeben ist und die Ausgaben mithilfe des entsprechenden DIP-Schalters deaktiviert sind, bringt jede Ausgabe lediglich weniger als eine  $\mu$ s größere Laufzeit.

## 6.4 Verlieren/Verpassen von Interrupts

Während den Messungen kam die Frage auf, was passiert, wenn ein Interrupt auftritt, wenn ein anderer bereits läuft. Wenn dies geschehen kann, was passiert mit den beiden Interrupts, geht eventuell sogar einer verloren?

Die Antwort auf diese Frage wurde von dem Handbuch des Mikrocontrollers [3] beantwortet. Mit den richtigen Einstellungen, die bereits eingestellt waren, werden Interrupts, die während eines anderen Interrupts auftreten, gespeichert und nach der Beendigung des laufenden Interrupts werden die gespeicherten ihrer Priorität nach ausgeführt.

## 6.5 Vergleich mit der Original-Software

Der harte Vergleich mit Nummern der Original-Software mit der in dieser Arbeit geschriebenen Software ist nur schwer möglich, da das zugrunde liegende Design von beiden Projekten so unterschiedlich ist, dass hauptsächlich die Dauer der Hauptschleife eine Idee davon geben kann, inwiefern die eine Software schneller arbeitet als die Andere (siehe Tabelle 6.8).

Zusätzlich kann man noch den Speicherfußabdruck der Systeme vergleichen (siehe Tabelle 6.7). Hierbei fällt auf, dass der generierte Maschinencode im Vergleich zum Original etwas größer ist, was aber unter anbeacht der benutzten Compiler-Flags bedeutet, dass der Code mit gleichen Flags kleiner wäre als das Original. Dies ist auch demonstriert worden, indem die Original-Software mit den Compiler-Flags der jetzigen Software übersetzt wurde. Zusätzlich wurde noch verglichen, wie lange ein

| Speicherart                        | Belegung           |
|------------------------------------|--------------------|
| Program (Original)                 | 14968 Bytes (5,7%) |
| Data (Original)                    | 1952 Bytes (23,8%) |
| Program (Original + mod. Makefile) | 17808 Bytes (6,8%) |
| Data (Original + mod. Makefile)    | 1952 Bytes (23,8%) |
| Program (Jetzt)                    | 15362 Bytes (5,9%) |
| Data (Jetzt)                       | 1248 Bytes (15,2%) |

Tabelle 6.7: Vergleich der Speicheranforderung

Befehl von der Praktikumsplatine bis zur Motorplatine benötigt. Hier ist die Übertragungsgeschwindigkeit des I2C-Busses das größte Hindernis und dank der höheren Datendichte der Befehlsübertragung im neuen System ist dieses wesentlich schneller (vgl. Tabelle 6.8 und Abb. 6.2).

## 6 Untersuchung des Laufzeitverhaltens

| Funktion                 | Zeit              | Verb.  | Bedingung                 |
|--------------------------|-------------------|--------|---------------------------|
| Hauptschleife (Original) | 121,885 µs        |        | Idle                      |
| Hauptschleife (mod Orig) | 121,635 µs        | 0,20%  | Idle                      |
| Hauptschleife (Jetzt)    | 23,535 µs         | 80,69% | Idle                      |
| Befehl (kurz, Original)  | 3655 µs (13 Byte) |        | I2C-Bus, kürzester Befehl |
| Befehl (kurz, Jetzt)     | 1023 µs (4 Byte)  |        | I2C-Bus, kürzester Befehl |
| Befehl (lang, Original)  | 7747 µs (27 Byte) |        | I2C-Büs, längster Befehl  |
| Befehl (lang, Jetzt)     | 2191 µs (8 Byte)  |        | I2C-Büs, längster Befehl  |

Tabelle 6.8: Vergleich der Geschwindigkeiten

```

'42' 'D' 'H' 'N' ' ' '1' '2' '7' ' ' '1' '2' '7' '\0'
'42' '3' '127' '127'

'42' 'D' 'P' 'P' ' ' '-' '1' '2' '7' ' ' '-' '1'
'42' '163' '-127' '-127' '-127' '-127' '-127' '-127'
'2' '7' ' ' '-' '3' '2' '7' '6' '8' ' ' '-' '3' '2' '7' '6' '8' '\0'

```

Abbildung 6.2: Vergleich von mehreren Befehlen



## 7 Zusammenfassung und Ausblick

Das Ergebniss dieser Arbeit ist, dass die Platine auf Befehle schnell und korrekt reagiert, solange diese nicht gravierend von den Spezifikation abweichen. Es gehen keine Interrupts verloren, und die Platine reagiert auf Änderungen in Bruchteilen einer Sekunde.

Dennoch gibt es einige Punkte, die aufgrund der begrenzten Zeit nicht getestet oder implementiert werden konnten.

So ist beispielsweise das Verhalten des ABS abhängig von der Dauer der Hauptschleife. Normalerweise ist dies kein Problem. Wenn allerdings Debug-Ausgaben vorgenommen werden, kann das ABS sich auf eine Art und Weise verhalten, die nicht erwünscht ist (dauerndes hin und her schwenken der Räder, da kein Schleifendurchlauf während des Nullpunktes stattfindet). Um dies zu verhindern, kann man einen Timer-Interrupt mit einer möglichst niedrigen Auflösung benutzen. Der Vorteil wäre hierbei, dass das ABS nicht mehr abhängig von der Geschwindigkeit der Hauptschleife ist. Außerdem ist das Abschalten des ABS gleichzusetzen mit dem Abschalten des zugehörigen Interrupts. Dieses wiederum eliminiert den Overhead des ABS komplett, wenn es abgeschaltet ist. Dieser Overhead wird auf ungefähr 2,5  $\mu$ s pro Schleifendurchlauf geschätzt. Der Nachteil besteht in einem geringen Mehraufwand, da ein Funktionsaufruf durch eine Interrupt-Service-Routine ersetzt wird.

Eine weitere Erweiterungsmöglichkeit für das System besteht in erhöhter Robustheit und erweiterter Fehlererkennung. So ist es möglich eintreffende Befehle auf komplette syntaktische Korrektheit zu überprüfen und nur solche Befehle zu akzeptieren, die diese Tests bestehen. Diese Erweiterung muss allerdings möglichst effizient und einfach erweiterbar implementiert werden, um zum einen nicht entgegen der Designprinzipien des Systems zu handeln, als auch das Laufzeitverhalten nicht schwerwiegend zu beeinträchtigen. Zusätzlich zu dieser Fehlererkennung kann die Robustheit des Systems durch ein Überwachungssystem erhöht werden, welches in periodischen Abständen, ermöglicht durch die eingebauten Timer, die einzelnen Module des Gesamtsystems auf Anzeichen von Problemen untersucht, wie z.B. volle Puffer, runaway Befehle, Parser Status Korruption und dergleichen. Um die Möglichkeit von runaway Code auszuschließen, ist die Benutzung des eingebauten Watchdog-Timers möglich, dessen timeout Wert allerdings sehr sorgfältig gewählt werden muss. Der timeout Wert darf nicht kleiner sein als die längste Hauptschleifen Iteration plus ein entsprechendes Sicherheitspolster.

Ein Bereich, der während der Arbeit vollkommen vernachlässigt wurde, ist die Möglichkeit die Motorplatine in einen Idle-Modus zu schicken, in diesem Modus verbraucht wie Platine wesentlich weniger Strom. Dies würde die Zeit verlängern, die eine Batterie an solch einem Fahrzeug hält, während die Praktikanten an ihm arbeiten und die Motorplatine längere Zeit nichts zu tun hat. In dieser Hinsicht wäre es auch interessant den Idle-Modus bzw. das Verhalten um dem Idle-Modus durch Befehle während der Laufzeit steuern zu können.

## *7 Zusammenfassung und Ausblick*

Wie im Kapitel über die Laufzeituntersuchung beschrieben ist die Datenrate über den I2C-Bus der größte limitierende Faktor bei der Übermittlung von Fahrbefehlen von der Praktikumsplatine an die Motorplatine. Damit dieses Problem minimiert wird kann man zum einen erwägen den I2C-Bus im "high-speed" Modus operieren zu lassen, oder eine eigene Punkt-zu-Punkt Kommunikation mithilfe der freien Ports auf der Motorplatine zu realisieren. Solch ein Maßgeschneiderter Port mit einem eigens dafür entwickelten Protokoll könnte die Latenz, die durch das Senden des Befehls entsteht, erheblich verringern.

# Literaturverzeichnis

- [1] Timo Klingenberg. Entwicklung einer motorsteuerung für zwei getriebemotoren. Technical report, Technische Universität Braunschweig, 2008.
- [2] Brian W. Kernighan and Dennis Ritchie. *The C Programming Language*. Prentice Hall Software, 1988.
- [3] ATMEL. *8-bit AVR Microcontroller with 64K/128K/256K • Bytes In-System • Programmable Flash*.
- [4] Wikipedia. <http://de.wikipedia.org/wiki/i2c>. Internet.

## *Literaturverzeichnis*

# A Module und ihre Beziehung

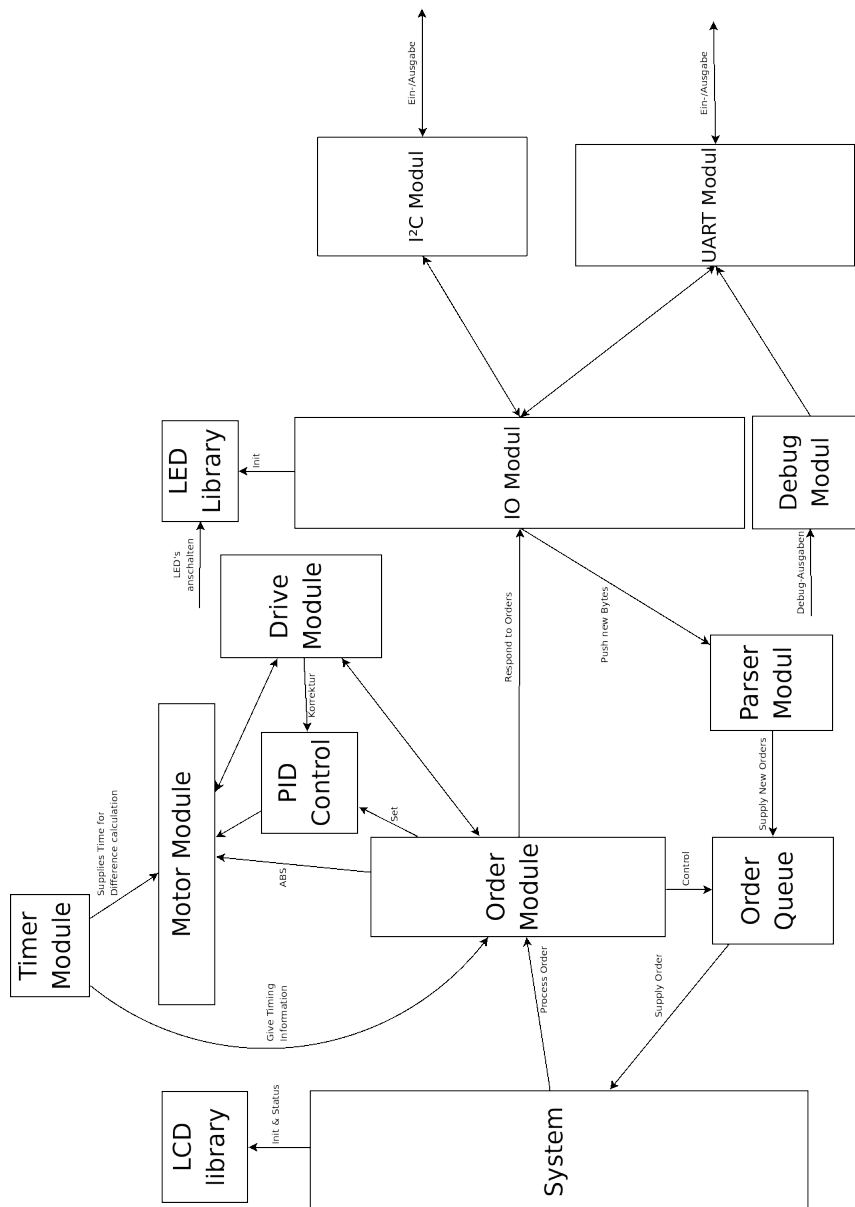


Abbildung A.1: Die Module und ihre Beziehungen

## *A Module und ihre Beziehung*